

第二章 量子力学基础

本章主要内容：

微观粒子波粒二象性

波函数及其性质、波函数的统计解释

Schrodinger方程

势箱中粒子、一维方势垒散射

一维谐振子的定态解

算符与力学量、量子力学基本假设

轨道角动量

§ 2-1 微观粒子的波粒二象性

一、经典物理的失效与量子论的实验基础

1、黑体辐射与能量量子化

$$E_n = n\varepsilon_0$$

$$\varepsilon_0 = h\nu$$

h 为Planck常数

2、光电效应与光子学说

Planck-Einstein关系式:

$$E = h\nu \quad p = h/\lambda$$

3、氢原子光谱与玻尔旧量子论

玻尔假说: (1) 定态规则; (2) 频率规则; (3) 角动量量子化。

$$L = nh/2\pi = n\hbar$$

4、固体比热 (热容) 与振动能的量子化

结论：

从这些例子中看出，经典物理的概念和理论方法不适用于微观体系。对微观现象的新的理论解释常常需要引入：

- 1) 能量的不连续性（量子化）；
- 2) 量子化中的重要普适常数 h —Planck常数。

$$h = 6.62618 \times 10^{-34} \text{ J} \cdot \text{s}$$

二、微观粒子的波动性

1. de Broglie假说

1923—1924年间，德布罗意（de Broglie，法国人，1892-1987）在光具有波粒二象性的启示下提出微观粒子具有波粒二象性。

$$\begin{cases} E = h\nu \\ p = h/\lambda \end{cases}$$

Einstein - de Broglie关系式

$$\vec{p} = \hbar \vec{k}, \vec{k} = \frac{2\pi}{\lambda} \vec{n}, \hbar = \frac{h}{2\pi}$$

德布罗意波波长的估算

经电压 V 加速后的自由电子，设它的运动速度比光速小得多，

$$E = T + V = \frac{1}{2}mv^2 = eV$$

$$\lambda = \frac{h}{p} = \frac{h}{\sqrt{2meV}} = \frac{6.626 \times 10^{-34}}{\sqrt{2 \times 9.11 \times 10^{-31} \times 1.602 \times 10^{-19} V}} = \frac{1.226}{\sqrt{V}} \times 10^{-9} m$$

$$\lambda = \frac{12.26}{\sqrt{V}} \text{ (Å)}$$

例：求以 $1.0 \times 10^6 \text{ m} \cdot \text{s}^{-1}$ 的速度运动的电子的 de Broglie 波波长。

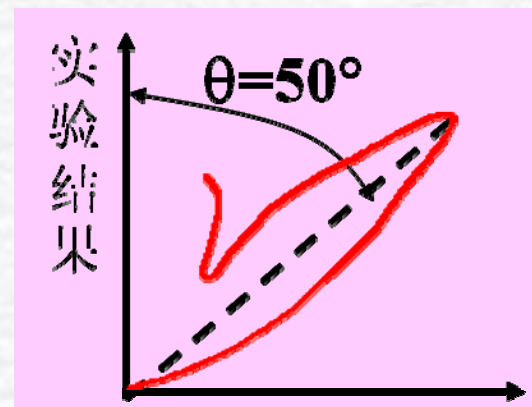
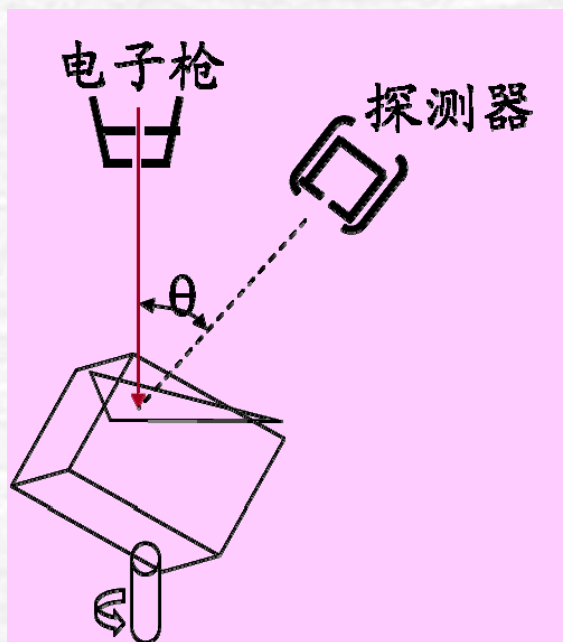
$$\begin{aligned} \lambda &= \frac{h}{mv} = (6.6 \times 10^{-34} \text{ J} \cdot \text{s}) / (9.1 \times 10^{-31} \text{ kg} \times 1.0 \times 10^6 \text{ m} \cdot \text{s}^{-1}) \\ &= 7 \times 10^{-10} \text{ m} = 7 \text{ Å} \end{aligned}$$

相当于分子大小的数量级，说明原子和分子中电子运动的波效应是重要的。但与宏观体系的线度相比，波效应是微小的。

2、De Broglie 波的实验验证

当 $V=10^2\sim 10^4\text{V}$ 时，从理论上可估算出电子 de Broglie 波长为 $1.2\sim 0.12\text{ \AA}$ ，与x光相近（ $0.1\sim 100\text{ \AA}$ ），用普通的光学光栅（周期 10^4 \AA ）是无法检验出其波动性的。

1925—1927，Davisson-Germer 电子衍射实验



晶体衍射的 Bragg 公式：

$$\Delta = d \sin \theta = n\lambda$$

$$\theta_n = \sin^{-1}\left(\frac{n\lambda}{d}\right)$$

利用 Ni的晶格常数—(x-ray data)，和de Broglie关系式计算出的电子波长

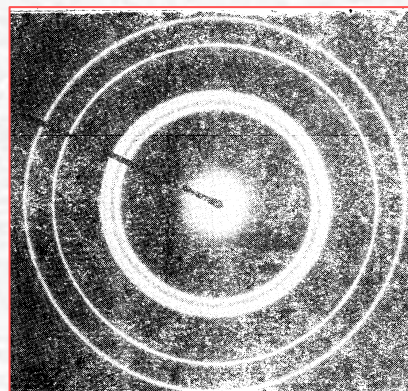
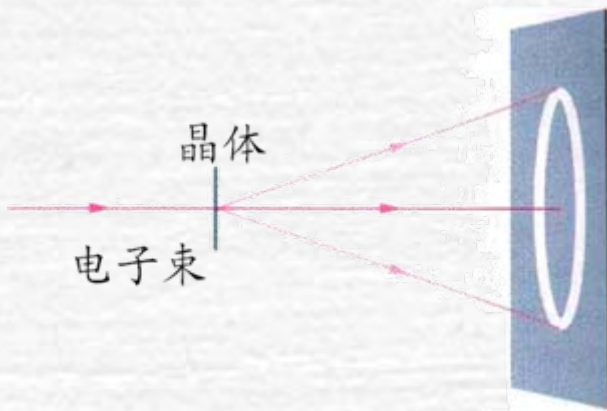
$$d = 2.15 \text{ \AA}$$

$$\lambda = \frac{12.26}{\sqrt{V}} (\text{\AA}) \xrightarrow{V=50V} \lambda = 1.67 \text{ \AA}$$

电子衍射第一极大（n=1）对应的衍射角度

$$\theta_{\max} = \sin^{-1}\left(\frac{n\lambda}{d}\right) = \sin^{-1}\left(\frac{1.67}{2.15}\right) = 51^\circ$$

1927年， G.P. Thomson 电子衍射实验，具有一定动能的电子在穿过金属箔片(10^{-6} cm) 后产生衍射环（与X-射线衍射环类似）。



由花纹的半径、底片到衍射源之间的距离等数值，可以求出 λ 。证明实验结果与理论推断一致。

1928年后，实验发现：质子、中子、氦原子、氢分子都具有波动性，且波长符合de Broglie关系，微观粒子的波动性得到全面验证。

de Broglie, 1929年诺贝尔物理学奖
C. Davisson, G.P. Thomson, 1937年诺贝尔物理学奖

电子波动性在结构分析中的应用：

- 1、电子显微镜：测量材料的形貌和微观结构；
- 2、电子衍射技术：晶体结构、分子结构；
- 3、低能电子衍射LEED（Low Energy Electron Diffraction）：
研究晶体的表面结构和表面吸附。

例如，显微镜的分辨率受 波长限制，由于高速电子的de Broglie波长比可见光波长短得多，而因此电子显微镜的分辨率（约0.2nm）远高于光学显微镜的分辨率（约 200 nm）。

3、不确定原理（测不准原理）

（uncertainty principle, Heisenberg, 1927）

微观粒子具有波粒二象性，将导致经典轨道失效。

粒子的坐标和动量不确定度满足：

$$\Delta x \cdot \Delta p_x \geq h$$

$$\Delta y \cdot \Delta p_y \geq h$$

$$\Delta z \cdot \Delta p_z \geq h$$

- (1) 坐标与动量同一方向上的分量不能同时确定。但不同方向上的分量之间（ Δx 与 Δp_y ）不存在上述关系。
- (2) 不确定关系在宏观体系中也适用，只是测不准量小到了可忽略的程度。
- (3) 不确定关系不是限制人们认识的程度，而是限制经典力学的适用范围。利用不确定关系，可判断哪些场合可用经典力学处理，哪些场合则必须用量子力学处理。

例 1

质量为0.01kg的子弹，运动速度为1000m/s，若速度的不确定程度为其运动速度的 1%，求其位置的不确定度。

$$\Delta x = \frac{h}{m\Delta v} = \frac{6.6 \times 10^{-34}}{0.01 \times 1000 \times 1\%} = 6.6 \times 10^{-33} \text{ m}$$

位置的不确定度 Δx 如此之小，与子弹的运动路程相比，完全可以忽略。因此，可以用经典力学处理。

例 2

求原子、分子中运动的电子的速度不确定度。

$$\begin{aligned}\Delta v &\approx h/(\Delta x \cdot m) \\ &= (6.626 \times 10^{-34} \text{ J}\cdot\text{s}) / (10^{-10} \text{ m} \times 9.11 \times 10^{-31} \text{ kg}) \\ &\approx 10^6 \sim 10^7 \text{ m/s}\end{aligned}$$

原子、分子中电子的运动速度约为 10^6 m/s ，其速度的不确定程度与电子本身的运动速度同量级。因此，原子、分子中电子的不能用经典力学处理。

(4) 不确定关系表明：微观粒子没有经典运动轨道，要求人们建立新的概念表达微观世界特有的规律性，这就是量子力学的任务。

(5) 更严格的形式是：

$$\Delta x \cdot \Delta p_x \geq \hbar / 2$$

(6) 时间 t 和能量 E 也有类似的不确定关系式：

$$\Delta t \cdot \Delta E \geq \hbar / 2$$

利用时间 - 能量不确定关系，从光谱自然线宽可以估算量子态寿命

$$\Delta t \cdot \Delta E \approx \hbar / 2$$

$$\Delta E = hc \Delta \tilde{\nu} \quad \Delta t = \tau$$

$$\Delta \tilde{\nu} \cdot \tau \approx \frac{1}{4\pi c} = 2.7 \times 10^{-12} \text{ cm}^{-1} \text{ s}$$

微观粒子和宏观粒子的特性对比

宏观粒子

有连续可测的运动轨道，可追踪各个粒子的运动轨迹。

具有同时确定的坐标和动量

体系能量可以为任意的、连续变化的数值。

用牛顿力学处理。

微观粒子

有波动特性，不可能分辨出各个粒子的轨迹。

遵循不确定关系

能量量子化 。

用量子力学处理。

4、物质波的波函数

* 经典波的波方程式：

$$a(x, t) = A \cos \left[2\pi \left(\frac{x}{\lambda} - \nu t \right) \right]$$

(i) 自由电子波

一维运动自由电子的能量、动量恒定，对应于平面单色波：

$$\Psi(x, t) = A \cos \left[2\pi \left(\frac{x}{\lambda} - \nu t \right) \right] = A \cos \left[\frac{2\pi}{h} (xp - Et) \right]$$

或写为复数形式：

$$\Psi(x, t) = A e^{\frac{i}{\hbar}(xp - Et)}$$

(ii) 束缚电子波

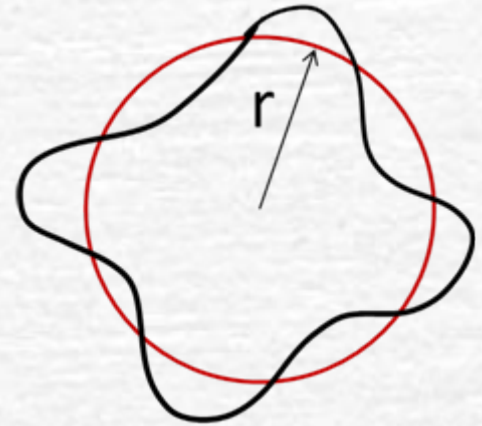
de Broglie和Schrodinger认为：微观粒子的定态与驻波对应。

对氢原子的圆形电子轨道，驻波条件为：轨道周长=波长整数倍

利用

$$\lambda = h / p$$

$$2\pi r = n\lambda = nh / p$$



角动量为：

$$L = rp = n\hbar$$

Bohr量子化条件

三、波函数的统计解释

1) 经典波：某种物理量在三维空间的连续分布：

电磁波 — 电场强度 E ，磁场强度 H 。 $I \propto |E|^2$
声波 — 压强 $I \propto |P|^2$

2) 物质波：

密度波 or 几率波 ？

早期经历了激烈的争论，de Broglie和Schrodinger等人因受经典概念的影响，认为电子是三维空间的连续分布的物质波包（密度波），波包的大小即电子大小，波包群速度即电子运动速度。

1926年Born提出了波函数的统计解释，指出波函数的绝对值平方代表发现粒子的几率密度。

量子力学公设1:

一个微观粒子的状态可以用波函数 $\Psi(\vec{r}, t)$ 完全描述。

$|\Psi(\vec{r}, t)|^2 d\tau$ 代表 t 时刻空间 \vec{r} 点附近体积元 $d\tau$ 内发现该粒子的相对几率。

* $|\Psi(\vec{r}, t)|^2$ ----- 几率密度。

* $\Psi(\vec{r}, t)$ ----- 几率幅。

* N粒子体系的波函数有类似的几率解释: $\Psi(\vec{r}_1, \vec{r}_2, \dots, \vec{r}_N, t)$

* 完全描述

四、波函数的一般性质与态的迭加原理

1、波函数乘以一个常数所描述的微观粒子的状态不变。

$\Psi(\vec{r}, t)$ 与 $c\Psi(\vec{r}, t)$ 代表同一状态

在全空间发现粒子为一必然事件，几率为 1：

$$W = \int_V |\Psi(\vec{r}, t)|^2 d\tau = 1$$

波函数的归一化条件：

$$\int_V |\Psi'|^2 d\tau = 1$$

$$\Psi' = \frac{1}{\sqrt{A}} \Psi$$

$$A = \int_V |\Psi|^2 d\tau$$

波函数有不确定相位因子： $\Psi(\vec{r}, t)$ 和 $e^{i\alpha}\Psi(\vec{r}, t)$ 为同一状态

2、波函数的标准条件（品优条件）

单值性： Ψ 是时间和空间的单值函数。

连续性： Ψ 及其对坐标的一阶导函数是时间和空间的连续函数。

有界性：波函数须平方可积（波函数平方在全空间的积分不能为无穷）。

3. 态叠加原理

经典波具有可叠加性：

从不同波动源发出的两列波，各自独立地在空间传播，在它们相遇的区域，产生的波动是这两个波的叠加。如果两列波有相同的频率和固定的位相差，就会产生干涉。

量子力学公设 2：

若 $\Psi_1, \Psi_2, \dots, \Psi_n$ 是体系的可能状态，则它们的线性叠加

$$\Psi = c_1\Psi_1 + c_2\Psi_2 + \dots + c_n\Psi_n = \sum_i c_i\Psi_i$$

也是该体系的一个可能状态。

说明：

1) 波函数的可叠加性是指同一个电子的不同状态可以叠加，不是指不同电子在空间相遇或叠加；

2) Ψ 叠加，不是 $|\Psi|^2$ （几率密度）叠加。

§ 2-2 薛定谔方程

经典波的波动方程：

$$\frac{\partial^2}{\partial t^2} \Psi = v^2 \frac{\partial^2}{\partial x^2} \Psi$$

$$\frac{\partial^2}{\partial t^2} \vec{E} = C^2 \nabla^2 \vec{E}$$

一、自由粒子的波动方程：

$$\Psi(x, t) = A \exp \left[\frac{i}{\hbar} (xp_x - Et) \right]$$

$$\begin{aligned} \Psi(\vec{r}, t) &= A \exp \left[\frac{i}{\hbar} (xp_x + yp_y + zp_z - Et) \right] \\ &= A \exp \left[\frac{i}{\hbar} (\vec{r} \cdot \vec{p} - Et) \right] \end{aligned}$$

$$\Psi(\vec{r}, t) = A \exp \left[\frac{i}{\hbar} (xp_x + yp_y + zp_z - Et) \right] = A \exp \left[\frac{i}{\hbar} (\vec{r} \cdot \vec{p} - Et) \right]$$

尝试将上式对时间和空间坐标求偏导数：

$$\frac{\partial}{\partial t} \Psi = -\frac{i}{\hbar} E \Psi \quad \rightarrow \quad E \Psi = i\hbar \frac{\partial}{\partial t} \Psi$$

$$\frac{\partial}{\partial x} \Psi = \frac{i}{\hbar} p_x \Psi \quad \rightarrow \quad p_x \Psi = -i\hbar \frac{\partial}{\partial x} \Psi$$

$$\frac{\partial^2}{\partial x^2} \Psi = -\frac{p_x^2}{\hbar^2} \Psi \quad \rightarrow \quad p_x^2 \Psi = -\hbar^2 \frac{\partial^2}{\partial x^2} \Psi$$

同理：

$$p_y \Psi = -i\hbar \frac{\partial}{\partial y} \Psi, \quad p_z \Psi = -i\hbar \frac{\partial}{\partial z} \Psi, \quad p_y^2 \Psi = -\hbar^2 \frac{\partial^2}{\partial y^2} \Psi, \quad p_z^2 \Psi = -\hbar^2 \frac{\partial^2}{\partial z^2} \Psi$$

力学量 “算符化”：

$$p_x \rightarrow -i\hbar \frac{\partial}{\partial x}, \dots, T \rightarrow -\frac{\hbar^2}{2m} \nabla^2, E \rightarrow i\hbar \frac{\partial}{\partial t}$$

自由粒子:

$$E = T = \frac{1}{2} m v^2 = \frac{1}{2m} (p_x^2 + p_y^2 + p_z^2)$$

$$i\hbar \frac{\partial}{\partial t} \Psi = -\frac{\hbar^2}{2m} \nabla^2 \Psi$$

势场中粒子:

$$E = T + V$$

$$i\hbar \frac{\partial}{\partial t} \Psi(\vec{r}, t) = \left[-\frac{\hbar^2}{2m} \nabla^2 + V(\vec{r}, t) \right] \Psi(\vec{r}, t)$$

二、含时薛定谔方程

量子力学公设3 --- 含时薛定谔方程:

$$i\hbar \frac{\partial}{\partial t} \Psi(\vec{r}, t) = \left[-\frac{\hbar^2}{2m} \nabla^2 + V(\vec{r}, t) \right] \Psi(\vec{r}, t)$$

哈密顿算符:

$$\hat{H} = \left[-\frac{\hbar^2}{2m} \nabla^2 + V \right]$$

则薛定谔方程:

$$i\hbar \frac{\partial}{\partial t} \Psi = \hat{H} \Psi$$

$V(\vec{r}, t) \rightarrow \Psi(\vec{r}, t) \rightarrow$

量子力学体系所有性质

三、 定态薛定谔方程

如果 $V(\vec{r}, t) = V(\vec{r})$, 与时间无关, 则:

$$\left[-\frac{\hbar^2}{2m} \nabla^2 + V(\vec{r}) \right] \psi(\vec{r}) = E \psi(\vec{r})$$

$$\Psi(\vec{r}, t) = \psi(\vec{r}) e^{-iEt/\hbar}$$

定态薛定谔方程:

$$\hat{H} \psi(\vec{r}) = E \psi(\vec{r})$$

含时薛定谔方程

$$\left[-\frac{\hbar^2}{2m} \nabla^2 + V(\vec{r}) \right] \Psi(\vec{r}, t) = i\hbar \frac{\partial}{\partial t} \Psi(\vec{r}, t)$$

令：

$$\Psi(\vec{r}, t) = \psi(\vec{r}) f(t)$$

方程两边同乘

$$\frac{1}{\psi(\vec{r}) f(t)}$$

$$\frac{1}{\psi(\vec{r})} \left[-\frac{\hbar^2}{2m} \nabla^2 + V(\vec{r}) \right] \psi(\vec{r}) = \frac{1}{f(t)} \left[i\hbar \frac{\partial}{\partial t} f(t) \right] = E$$

所以：

$$i\hbar \frac{d}{dt} f(t) = E f(t)$$

$$\left[-\frac{\hbar^2}{2m} \nabla^2 + V(\vec{r}) \right] \psi(\vec{r}) = E \psi(\vec{r})$$

由方程：

$$i\hbar \frac{d}{dt} f(t) = E f(t)$$

$$\frac{df(t)}{dt} = \frac{E}{i\hbar} f(t) \rightarrow \frac{df(t)}{f(t)} = \frac{E}{i\hbar} dt \rightarrow \ln f(t) = \frac{E}{i\hbar} t + c$$

得到：

$$f(t) = C e^{-iEt/\hbar}$$

$$\therefore \Psi(\vec{r}, t) = \psi(\vec{r}) f(t) = \psi(\vec{r}) e^{-iEt/\hbar}$$

这表明势能不含时的情况下，波函数的时间和空间部分可以分离，并且波函数的时间部分具有虚指数形式。

讨论:

(i) 特例: 自由电子 (\mathbf{p}, E)

$$\begin{aligned}\Psi(\vec{r}, t) &= A \exp[i(\vec{r} \cdot \vec{p} - Et) / \hbar] \\ &= A \exp[i \vec{r} \cdot \vec{p} / \hbar] \exp[-iEt / \hbar]\end{aligned}$$

所以指数时谐部分中的 E 就是体系的能量。

(ii)

$$|\Psi(\vec{r}, t)|^2 = |\psi(\vec{r})|^2$$

它与 t 无关, 即发现粒子在某处的几率不随时间变化——称为定态。

(iii) 哈密顿算符本征函数

$$\hat{H}\psi(\vec{r}) = E\psi(\vec{r})$$

“量子化即本征值问题”

(iv) 如果方程

$$\hat{H}\psi_n(\vec{r}) = E_n\psi_n(\vec{r})$$

的本征解为：

$$E_1, E_2, \dots, E_n, \dots$$

$$\psi_1(\vec{r}), \psi_2(\vec{r}), \dots, \psi_n(\vec{r}), \dots$$

则含时薛定谔方程

$$i\hbar \frac{\partial}{\partial t} \Psi = \hat{H}\Psi$$

解的一般形式为：

$$\Psi(\vec{r}, t) = \sum_n C_n \psi_n(\vec{r}) \exp(-iE_n t / \hbar)$$

即一般解可以表示为本征解的线性叠加，这是量子力学的态叠加原理的具体体现。

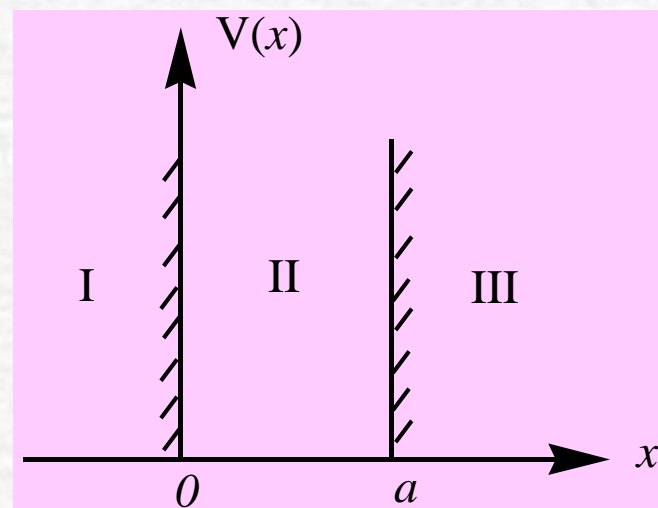
§ 2-3 势箱中的粒子

一、一维势箱中的粒子

1、势能函数

质量为 m 的粒子，在一维直线上局限在一定范围 $0 \sim a$ 内自由运动。

某些实际体系，例如，直链共轭多烯、直链染料分子的离域 π 键电子等，可近似按一维势箱模型处理。



$$V(x) = \begin{cases} 0 & (0 < x < a) \\ \infty & (x \geq a, \quad x \leq 0) \end{cases}$$

2、Schrodinger方程及其解

体系的哈密顿算符为：

$$\hat{H} = -\frac{\hbar^2}{2m} \frac{d^2}{dx^2} + V(x)$$

薛定谔方程为：

$$\hat{H}\psi = E\psi$$

箱外几率为零：

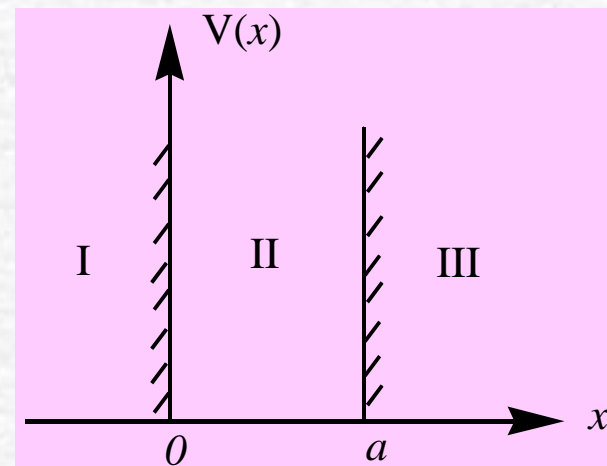
$$\text{I, III: } \psi = 0$$

II区边界条件为：

$$\text{II: } \psi(0) = \psi(a) = 0$$

II区内部，用 $V=0$ 代入薛定谔方程得：

$$\psi'' + \frac{2mE}{\hbar^2} \psi = 0$$



这是一个二阶常微分方程，通解为：

$$\psi(x) = C' \exp(i\sqrt{\frac{2mE}{\hbar^2}}x) + C'' \exp(-i\sqrt{\frac{2mE}{\hbar^2}}x)$$

$$\psi'' + \frac{2mE}{\hbar^2} \psi = 0$$

或：

$$\psi(x) = C_1 \sin \sqrt{\frac{2mE}{\hbar^2}}x + C_2 \cos \sqrt{\frac{2mE}{\hbar^2}}x$$

边界条件给出：

$$\psi(0) = 0, \quad \therefore C_2 = 0;$$

$$\psi(a) = 0, \quad \therefore \sqrt{\frac{2mE}{\hbar^2}}a = n\pi; \quad n = 1, 2, \dots$$

最终得到一维势箱问题的能量本征值和本征波函数为：

$$\begin{cases} \psi_n(x) = \sqrt{\frac{2}{a}} \sin \frac{n\pi}{a} x \\ E_n = \frac{n^2 \pi^2 \hbar^2}{2ma^2} \end{cases} \quad n = 1, 2, 3, \dots$$

归一化常数:

$$\psi_n = C_1 \sin \frac{n\pi}{a} x$$

$$\int_{-\infty}^{\infty} \psi_n^* \psi_n dx = 1$$

因,

$$\int_{-\infty}^{\infty} \psi_n^* \psi_n dx = \int_0^a (C_1 \sin \frac{n\pi}{a} x)^2 dx$$

$$= C_1^2 \int_0^a \frac{1}{2} (1 - \cos \frac{2n\pi}{a} x) dx$$

$$= C_1^2 \left[\frac{a}{2} - \left(\frac{a}{4n\pi} \sin \frac{2n\pi}{a} x \right) \right]_0^a = |C_1|^2 \cdot \frac{a}{2} = 1$$

所以,

$$C_1 = \sqrt{\frac{2}{a}}$$

3、解的讨论

(1) 能量量子化

$$E_n = \frac{n^2 \pi^2 \hbar^2}{2ma^2} \quad n = 1, 2, 3, \dots$$

能级公式表明，束缚态微观粒子的能量是不连续的，此即微观体系的能量量子化效应。相邻两能级的间隔为

$$\Delta E = E_{n+1} - E_n = (2n+1) \frac{\pi^2 \hbar^2}{2ma^2}$$

能级差与量子数 n 成正比，与粒子运动范围的平方成反比。

最低能级：

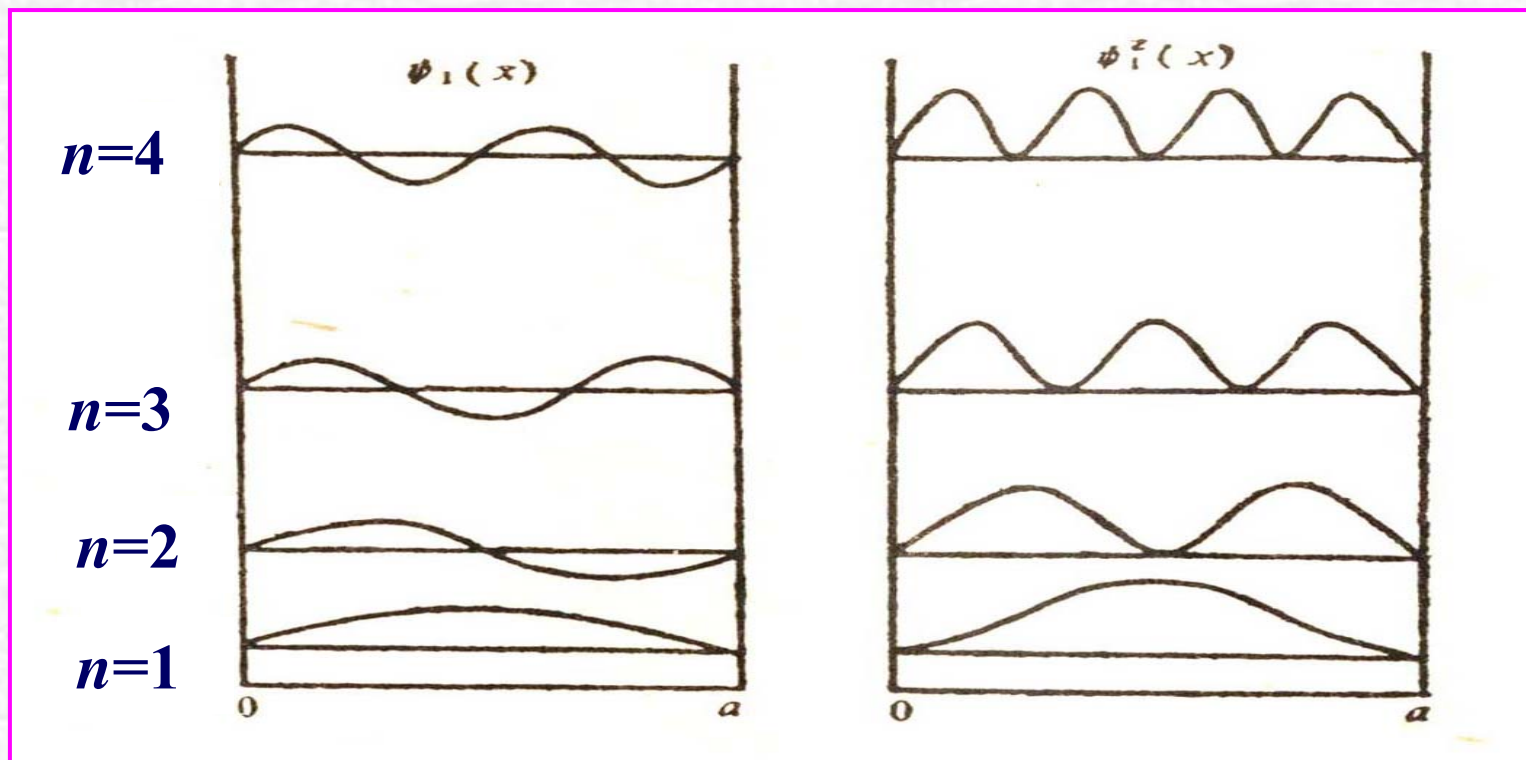
$$E_1 = \frac{\pi^2 \hbar^2}{2ma^2} \neq 0$$

表明体系的最低能量不能为零，由于箱内势能 $V=0$ ，这就意味着粒子的最低动能恒大于零。

(3) 波函数与几率密度

$$\psi_n(x) = \sqrt{\frac{2}{a}} \sin \frac{n\pi}{a} x$$

$$|\psi_n(x)|^2 = \frac{2}{a} \left(\sin \frac{n\pi}{a} x \right)^2$$



节点 (nodes)：波函数为零处。

与经典图象不同。

(4) 波函数的正交归一性

$$\psi_n(x) = \sqrt{\frac{2}{a}} \sin \frac{n\pi}{a} x$$

归一性:

$$\int_{-\infty}^{\infty} \psi_n^* \psi_n dx = \int_0^a \psi_n^* \psi_n dx = 1$$

正交性:

$$\int_{-\infty}^{\infty} \psi_m^* \psi_n dx = \int_0^a \psi_m^* \psi_n dx = 0 \quad m \neq n$$

$$\begin{aligned} \int_0^a \psi_m^* \psi_n dx &= \frac{2}{a} \int_0^a \left(-\frac{1}{2}\right) \left[\cos \frac{(m+n)\pi}{a} x - \cos \frac{(m-n)\pi}{a} x \right] dx \\ &= 0 + \frac{1}{a} \int_0^a \left[-\cos \frac{(m-n)\pi}{a} x \right] dx = 0 \end{aligned}$$

合写为:

$$\int_{-\infty}^{\infty} \psi_m^* \psi_n dx = \delta_{mn}$$

量子力学处理问题的一般方法步骤

1. 写出粒子的哈密顿算符 $[H]$ (主要是势能算符);
2. 写出Sch. 方程;
3. 解 Sch. 方程。 E 作为参数看待, 解出通解;
4. 利用下列条件: (1) 边界条件; (2) 波函数标准条件。
可以得到一系列的波函数 $\psi_1, \psi_2, \psi_3 \dots$ 和一系列相对应的能量 $E_1, E_2, E_3 \dots$ 。每个 ψ_i 代表体系的一种可能状态, 这个状态的能量为 E_i 。
5. 由所得 ψ_i 就可知道粒子的几率分布以及其它物理性质。

二、二维和三维势箱中的粒子

1、二维势箱

二维势箱的势能函数：

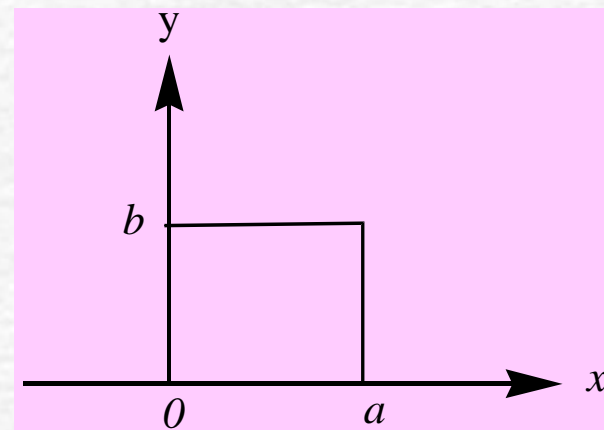
$$V(x, y) = \begin{cases} 0 & (0 < x < a, 0 < y < b) \\ \infty & (others) \end{cases}$$

体系的哈密顿算符为：

$$\hat{H} = -\frac{\hbar^2}{2m} \left(\frac{\partial^2}{\partial x^2} + \frac{\partial^2}{\partial y^2} \right) + V(x, y)$$

薛定谔方程：

$$\hat{H}\psi(x, y) = E\psi(x, y)$$



由于势函数的特殊形式，波函数可以分离变量为：

$$\psi(x, y) = \psi_1(x)\psi_2(y)$$

定态薛定谔方程可以分解成两个常微分方程，相当于x, y两个方向的一维势箱问题。具体处理如下：

$$\hat{H} = -\frac{\hbar^2}{2m} \left(\frac{\partial^2}{\partial x^2} + \frac{\partial^2}{\partial y^2} \right) + V(x, y)$$

$$\hat{H}\psi(x, y) = E\psi(x, y)$$

矩形内部：

$$\left[-\frac{\hbar^2}{2m} \left(\frac{\partial^2}{\partial x^2} + \frac{\partial^2}{\partial y^2} \right) \right] \psi_1(x)\psi_2(y) = E\psi_1(x)\psi_2(y)$$

$$\psi_2(y) \cdot \left(-\frac{\hbar^2}{2m} \frac{\partial^2}{\partial x^2} \right) \psi_1(x) + \psi_1(x) \cdot \left(-\frac{\hbar^2}{2m} \frac{\partial^2}{\partial y^2} \right) \psi_2(y) = E\psi_1(x)\psi_2(y)$$

除以 $\psi_1(x)\psi_2(y)$ ，移项，得：

$$\frac{1}{\psi_1(x)} \cdot \left(-\frac{\hbar^2}{2m} \frac{\partial^2}{\partial x^2} \right) \psi_1(x) = E - \frac{1}{\psi_2(y)} \cdot \left(-\frac{\hbar^2}{2m} \frac{\partial^2}{\partial y^2} \right) \psi_2(y) = E_1$$

$$\frac{1}{\psi_1(x)} \cdot \left(-\frac{\hbar^2}{2m} \frac{\partial^2}{\partial x^2}\right) \psi_1(x) = E - \frac{1}{\psi_2(y)} \cdot \left(-\frac{\hbar^2}{2m} \frac{\partial^2}{\partial y^2}\right) \psi_2(y) = E_1$$

可以分成两个常微分方程：

$$\begin{aligned} -\frac{\hbar^2}{2m} \frac{d^2}{dx^2} \psi_1(x) &= E_1 \psi_1(x) \\ -\frac{\hbar^2}{2m} \frac{d^2}{dy^2} \psi_2(y) &= E_2 \psi_2(y) \\ E &= E_1 + E_2 \end{aligned}$$

这相当于x 和 y 两个方向的一维势箱问题。分别处理可得到二维势箱问题的能量本征值和本征波函数为：

$$\begin{cases} \psi_{n_1, n_2}(x, y) = \sqrt{\frac{4}{ab}} \sin \frac{n_1 \pi}{a} x \sin \frac{n_2 \pi}{b} y \\ E_{n_1, n_2} = \left(\frac{n_1^2}{a^2} + \frac{n_2^2}{b^2}\right) \frac{\pi^2 \hbar^2}{2m}, n_1, n_2 = 1, 2, \dots \end{cases}$$

2、三维势箱

三维势箱的势能函数：

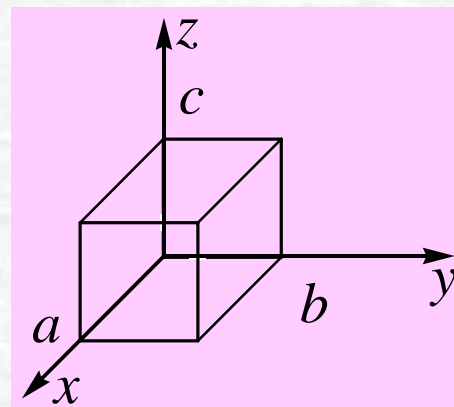
$$V(x, y, z) = \begin{cases} 0 & (0 < x < a, 0 < y < b, 0 < z < c) \\ \infty & (\text{others}) \end{cases}$$

体系的哈密顿算符为：

$$\hat{H} = -\frac{\hbar^2}{2m} \left(\frac{\partial^2}{\partial x^2} + \frac{\partial^2}{\partial y^2} + \frac{\partial^2}{\partial z^2} \right) + V(x, y, z)$$

薛定谔方程：

$$\hat{H}\psi(x, y, z) = E\psi(x, y, z)$$



波函数可以分离变量为：

$$\psi(x, y, z) = \psi_1(x)\psi_2(y)\psi_3(z)$$

定态薛定谔方程可以分解成三个常微分方程，相当于x,y,z 三个方向的一维势箱问题。可以得到三维势箱问题的能量本征值和本征波函数为：

$$\begin{cases} \psi_{n_1, n_2, n_3}(x, y, z) = \sqrt{\frac{8}{abc}} \sin \frac{n_1 \pi}{a} x \sin \frac{n_2 \pi}{b} y \sin \frac{n_3 \pi}{c} z \\ E_{n_1, n_2, n_3} = \left(\frac{n_1^2}{a^2} + \frac{n_2^2}{b^2} + \frac{n_3^2}{c^2} \right) \frac{\pi^2 \hbar^2}{2m}, n_1, n_2, n_3 = 1, 2, \dots \end{cases}$$

注意：描写一个三维空间运动离子的状态需用三个量子数，以后讨论电子的空间波函数（空间轨道）时，也用到量子数 n, l, m 。

讨论：三维正立方体势箱中粒子的简并态

对于正立方体势箱 $a = b = c$:

$$E_{n_1, n_2, n_3} = \frac{\pi^2 \hbar^2}{2ma^2} (n_1^2 + n_2^2 + n_3^2)$$

显然：波函数 ψ_{112} , ψ_{121} , ψ_{211} 都对应着能量：

$$E = 6 \frac{\pi^2 \hbar^2}{2ma^2}$$

称：该能级是三重简并的。

简并：体系的某一个能量值，对应着若干个不同的波函数

| $E (h^2/8ma^2)$ | $n_1 n_2 n_3$ | | |
|-----------------|---------------|-----|-----|
| 12 | | 222 | |
| 11 | | | |
| | 113 | 131 | 311 |
| 9 | | | |
| | 122 | 212 | 221 |
| 6 | | | |
| | 112 | 121 | 211 |
| 3 | | | |
| | | 111 | |

正立方体势箱中粒子的能级图

简并的出现与体系的对称性有关，高对称性的体系往往出现能级简并。对称性降低会使简并度降低甚至完全解除。

对于正立方体势箱 $a = b = c$:

波函数 ψ_{112} , ψ_{121} , ψ_{211} :

$$E = 6 \frac{\pi^2 \hbar^2}{2ma^2}$$

三重简并

若 $a = b$ 但不等于 c :

ψ_{121} , ψ_{211} :

$$E = \left(\frac{5}{a^2} + \frac{1}{c^2} \right) \frac{\pi^2 \hbar^2}{2m}$$

二重简并

ψ_{112} :

$$E = \left(\frac{2}{a^2} + \frac{4}{c^2} \right) \frac{\pi^2 \hbar^2}{2m}$$

非简并

若 a , b , c 不相等, 则 ψ_{112} , ψ_{121} , ψ_{211} 非简并。

$$E = \left(\frac{1}{a^2} + \frac{1}{b^2} + \frac{4}{c^2} \right) \frac{\pi^2 \hbar^2}{2m}$$

$$E = \left(\frac{1}{a^2} + \frac{4}{b^2} + \frac{1}{c^2} \right) \frac{\pi^2 \hbar^2}{2m}$$

$$E = \left(\frac{4}{a^2} + \frac{1}{b^2} + \frac{1}{c^2} \right) \frac{\pi^2 \hbar^2}{2m}$$

例题：求立方势箱能量 $E \leq \frac{12h^2}{8ma^2}$ 的可能的状态数。

解：根据能级公式，立方势箱的态分布为：

$$E_{n_1, n_2, n_3} = \frac{\pi^2 \hbar^2}{2ma^2} (n_1^2 + n_2^2 + n_3^2) = \frac{h^2}{8ma^2} (n_1^2 + n_2^2 + n_3^2)$$

$$E_{111}$$

$$E_{211} = E_{112} = E_{121}$$

$$E_{122} = E_{212} = E_{221}$$

$$E_{113} = E_{131} = E_{311}$$

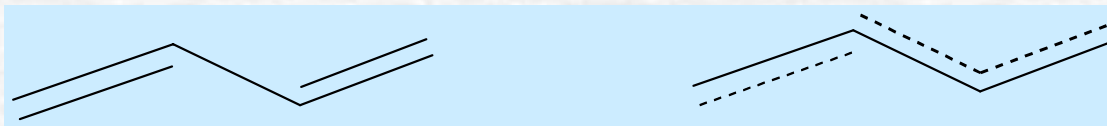
$$E_{222}$$

故：共有11个状态（微观态）。

| $E (h^2/8ma^2)$ | $n_1 n_2 n_3$ | | |
|-----------------|---------------|------------|------------|
| 12 | | <u>222</u> | |
| 11 | <u>113</u> | <u>131</u> | <u>311</u> |
| 9 | <u>122</u> | <u>212</u> | <u>221</u> |
| 6 | <u>112</u> | <u>121</u> | <u>211</u> |
| 3 | | <u>111</u> | |

三、势箱模型的应用：一维势箱与直链共轭多烯 (自由电子模型, FEM)

(1) 例：丁二烯的离域 π 键



(2) 直链共轭多烯的电子吸收光谱

一维势箱能量:

$$E_n = \frac{n^2 \pi^2 \hbar^2}{2ma^2} = \frac{n^2 h^2}{8ma^2} \quad n = 1, 2, 3, \dots$$

$$\Delta E = h\nu = hc\tilde{\nu} = \frac{hc}{\lambda}$$

$$\lambda = \frac{hc}{\Delta E}$$

吸收光谱最大吸收波长红移现象

丁二烯:

$$\Delta E = E'' - E' = E_3 - E_2 = \frac{5h^2}{8ma^2}$$

$$\lambda = \frac{hc}{\Delta E} = \frac{8mc(3d)^2}{5h}$$

己三烯:

$$\Delta E = E_4 - E_3 = \frac{7h^2}{8ma^2}$$

$$\lambda = \frac{hc}{\Delta E} = \frac{8mc(5d)^2}{7h}$$

$C_{2k}H_{2k+2}$:

$$\lambda = \frac{hc}{\Delta E} = \frac{8mc[(2k-1)d]^2}{(2k+1)h}$$

显然，随共轭链的增长，吸收波长增加，即发生红移现象。

(Woodward-Fieser 经验规则)

实验：丁二烯为 217 nm；己三烯为 258 nm （定性符合）

丁二烯计算值为（取 $d=145$ pm）： 325 nm。（定量困难）

例题

花菁染料的吸收光谱。



(水溶性染料)

π 电子数:

$$2r + 2 + 2 = 2r + 4 = 2(r + 2)$$

HOMO: 第 $r+2$ 个轨道 (相当于第 n 个)

LUMO: 第 $r+3$ 个轨道 (相当于第 $n+1$ 个)

设运动范围为:

$$l = (2.48r + 5.65) \text{ \AA}$$

$$\Delta E = \frac{hc}{8m(2.48r + 5.65)^2} \left[(r+3)^2 - (r+2)^2 \right] = \frac{hc}{\lambda}$$

由此可计算出不同链长对应的吸收波长, 能较好与实验相符。

与势箱模型相关的其他可解势场及其应用

二维势箱 —— 金属表面、层状共轭体系（二维电子气）

三维势箱 —— 金属的电子气模型

一维圆环势场 —— 轮烯的电子结构

$$V(r, \theta) = \begin{cases} 0 & (r = r_0) \\ \infty & (others) \end{cases}$$

$$E_n = \frac{n^2 \hbar^2}{2mr_0^2} \quad n = 0, \pm 1, \pm 2, \pm 3, \dots$$

球方势场 —— 纳米粒子量子尺寸效应

$$V(r, \theta, \varphi) = \begin{cases} 0 & (r < r_0) \\ \infty & (others) \end{cases}$$

球面势场 —— 富勒烯的电子结构

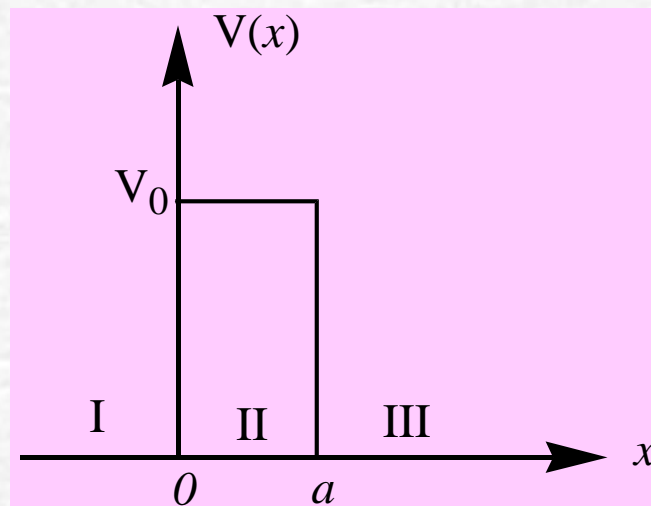
$$V(r, \theta, \varphi) = \begin{cases} 0 & (r = r_0) \\ \infty & (others) \end{cases}$$

2-4 一维方势垒散射问题与隧道效应

考虑一个能量为 E 的粒子沿 x 轴正方向从左向势垒运动。

势能函数为：

$$V(x) = \begin{cases} V_0 & (0 < x < a) \\ 0 & (x \leq 0, x \geq a) \end{cases}$$



经典力学：若 E 小于势垒高度，粒子将被弹回，不能穿透势垒。
若 E 大于势垒高度，粒子能够穿越势垒。

量子力学：无论 E 大于还是小于势垒高度，粒子均有一定的几率穿透势垒，也有一定的几率弹回（反射）。

一、E 小于 V_0 的情形

体系的哈密顿算符为：

$$\hat{H} = -\frac{\hbar^2}{2m} \frac{d^2}{dx^2} + V(x)$$

薛定谔方程为：

$$\hat{H}\psi = E\psi$$

在势垒外（I 区和 III 区）：

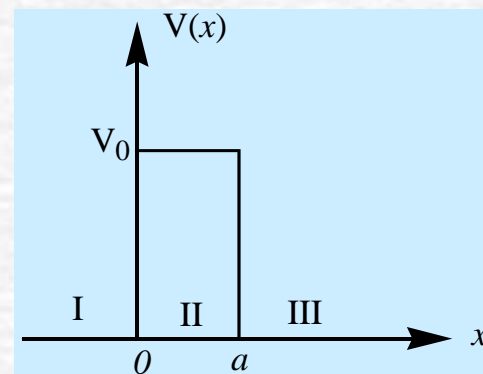
$$\psi'' + \frac{2mE}{\hbar^2} \psi = 0$$

其解为：

$$\psi(x) \sim e^{ik_1x}, e^{-ik_1x}$$

其中：

$$k_1 = \sqrt{2mE} / \hbar$$



它们分别为沿 x 轴正方向和负方向自由运动的粒子的波函数。

粒子从左入射，在 I 区，既有入射波 $\exp(ik_1x)$ ，也有反射波 $\exp(-ik_1x)$ ，而在 III 区，只有透射波 $\exp(ik_1x)$ 。

于是：

$$\psi_I(x) = A \exp(ik_1x) + A' \exp(-ik_1x), \quad x < 0$$

$$\psi_{III}(x) = C \exp(ik_1x), \quad x > a$$

在 II 区（势垒内部，为经典禁区）：

$$\psi'' - \frac{2m}{\hbar^2}(V_0 - E)\psi = 0 \quad \longrightarrow \quad \psi'' - k_2^2\psi = 0$$

其中：

$$k_2 = \sqrt{2m(V_0 - E)} / \hbar > 0$$

其解为：

$$\psi_{II}(x) = B \exp(k_2x) + B' \exp(-k_2x), \quad 0 < x < a$$

系数由波函数及其一阶导数在边界的连续性确定。

$$\psi_I(x) = A \exp(ik_1 x) + A' \exp(-ik_1 x)$$

$$\psi_{II}(x) = B \exp(k_2 x) + B' \exp(-k_2 x)$$

当 $x = 0$, 因:

$$\psi_I(0) = \psi_{II}(0)$$

$$\psi_I'(0) = \psi_{II}'(0)$$

得:

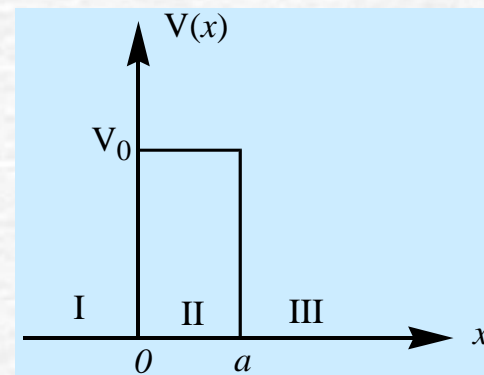
$$A + A' = B + B'$$

$$ik_1(A - A') = k_2(B - B')$$

联立以上两式, 解得:

$$B = \frac{1}{2k_2} [A(k_2 + ik_1) + A'(k_2 - ik_1)]$$

$$B' = \frac{1}{2k_2} [A(k_2 - ik_1) + A'(k_2 + ik_1)]$$



$$\psi_{II}(x) = B \exp(k_2 x) + B' \exp(-k_2 x)$$

$$\psi_{III}(x) = C \exp(ik_1 x)$$

当 $x = a$, 因:

$$\psi_{II}(a) = \psi_{III}(a)$$

$$\psi_{II}'(a) = \psi_{III}'(a)$$

得:

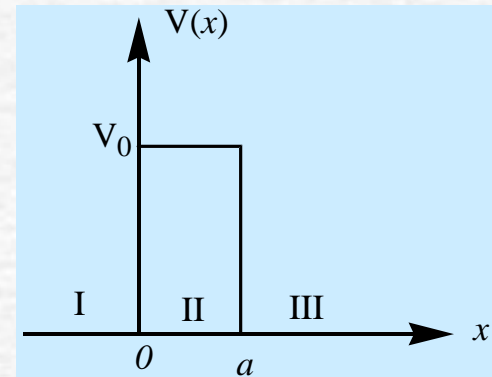
$$B \exp(k_2 a) + B' \exp(-k_2 a) = C \exp(ik_1 a)$$

$$k_2 [B \exp(k_2 a) - B' \exp(-k_2 a)] = ik_1 C \exp(ik_1 a)$$

联立以上两式, 解得:

$$B = \frac{C}{2k_2} [k_2 + ik_1] \exp(ik_1 a - k_2 a)$$

$$B' = \frac{C}{2k_2} [k_2 - ik_1] \exp(ik_1 a + k_2 a)$$



$$B = \frac{1}{2k_2} [A(k_2 + ik_1) + A'(k_2 - ik_1)]$$

$$B = \frac{C}{2k_2} [k_2 + ik_1] \exp(ik_1 a - k_2 a)$$

$$B' = \frac{1}{2k_2} [A(k_2 - ik_1) + A'(k_2 + ik_1)]$$

$$B' = \frac{C}{2k_2} [k_2 - ik_1] \exp(ik_1 a + k_2 a)$$

故：

$$\underline{A(k_2 + ik_1)} + A'(k_2 - ik_1) = C \underline{[k_2 + ik_1] \exp(ik_1 a - k_2 a)}$$

$$\underline{A(k_2 - ik_1)} + A'(k_2 + ik_1) = C \underline{[k_2 - ik_1] \exp(ik_1 a + k_2 a)}$$

整理上两式，得：

$$A'(k_2 - ik_1) = [k_2 + ik_1][C \exp(ik_1 a - k_2 a) - A]$$

$$A'(k_2 + ik_1) = [k_2 - ik_1][C \exp(ik_1 a + k_2 a) - A]$$

$$A'(k_2 - ik_1) = [k_2 + ik_1][C \exp(ik_1 a - k_2 a) - A]$$

$$A'(k_2 + ik_1) = [k_2 - ik_1][C \exp(ik_1 a + k_2 a) - A]$$

联立两式，解得：

$$[k_2 + ik_1]^2 [C \exp(ik_1 a - k_2 a) - A] = [k_2 - ik_1]^2 [C \exp(ik_1 a + k_2 a) - A]$$

移项：

$$C \exp(ik_1 a) [(k_2 + ik_1)^2 \cdot \exp(-k_2 a) - (k_2 - ik_1)^2 \cdot \exp(k_2 a)] = 4ik_1 k_2 \cdot A$$

故有：

$$\frac{C}{A} \exp(ik_1 a) = \frac{4ik_1 k_2}{(k_2 + ik_1)^2 \cdot \exp(-k_2 a) - (k_2 - ik_1)^2 \cdot \exp(k_2 a)}$$

利用：

$$\exp(-k_2 a) = \operatorname{ch} k_2 a - \operatorname{sh} k_2 a, \quad \exp(k_2 a) = \operatorname{ch} k_2 a + \operatorname{sh} k_2 a$$

分母为：

$$\begin{aligned} & [k_2^2 - k_1^2 + 2ik_1 k_2](\operatorname{ch} k_2 a - \operatorname{sh} k_2 a) \\ & - [k_2^2 - k_1^2 - 2ik_1 k_2](\operatorname{ch} k_2 a + \operatorname{sh} k_2 a) \\ & = -2[k_2^2 - k_1^2] \operatorname{sh} k_2 a + 4ik_1 k_2 \operatorname{ch} k_2 a \end{aligned}$$

经过处理，可得：

$$\frac{C}{A} \exp(ik_1 a) = \frac{2ik_1 k_2}{[k_1^2 - k_2^2] \cdot \operatorname{sh} k_2 a + 2i(k_1 k_2) \operatorname{ch} k_2 a}$$

其中双曲函数：

$$\operatorname{sh} x = \frac{e^x - e^{-x}}{2}, \quad \operatorname{ch} x = \frac{e^x + e^{-x}}{2}$$

利用公式：

$$\left| \frac{ib}{c + id} \right|^2 = \frac{b^2}{c^2 + d^2}$$

透射系数：

$$T = \left| \frac{C}{A} \right|^2 = \frac{4k_1^2 k_2^2}{[k_1^2 - k_2^2]^2 \operatorname{sh}^2 k_2 a + 4k_1^2 k_2^2 \operatorname{ch}^2 k_2 a}$$

利用公式：

$$\operatorname{ch}^2 x = \operatorname{sh}^2 x + 1$$

上式可写为：

$$T = \frac{4k_1^2 k_2^2}{[k_1^2 + k_2^2]^2 \operatorname{sh}^2 k_2 a + 4k_1^2 k_2^2}$$

类似处理，可得反射系数：

$$R = \left| \frac{A'}{A} \right|^2 = \frac{[k_1^2 + k_2^2]^2 \operatorname{sh}^2 k_2 a}{[k_1^2 + k_2^2]^2 \operatorname{sh}^2 k_2 a + 4k_1^2 k_2^2}$$

有：

$$R + T = \left| \frac{A'}{A} \right|^2 + \left| \frac{C}{A} \right|^2 = 1$$

（粒子数守恒）

二、讨论 (E 小于 V_0 的情形)

(1) 隧道效应

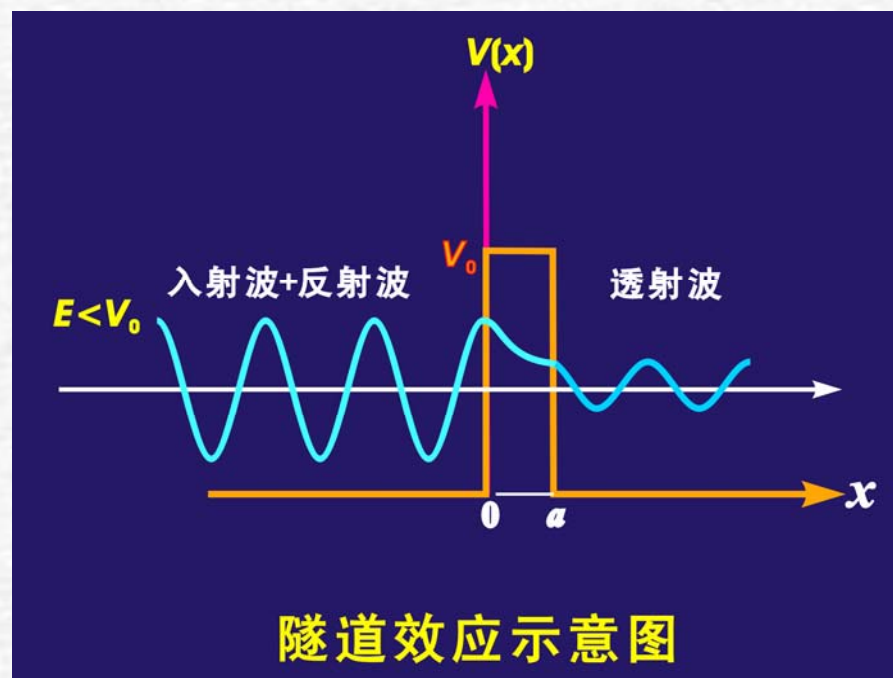
设势垒高度为一有限值 V_0 。当 $E < V_0$ 时，按照经典力学的观点，粒子不能穿过势垒到达另一侧，但用量子力学处理，即使粒子的能量小于势垒高度，粒子穿透势垒的几率一般也不为零。

$$T = \frac{4k_1^2 k_2^2}{[k_1^2 + k_2^2]^2 \text{sh}^2 k_2 a + 4k_1^2 k_2^2}$$

$$k_1 = \sqrt{2mE} / \hbar$$

$$k_2 = \sqrt{2m(V_0 - E)} / \hbar$$

这种粒子能够穿透比它的能量更高的势垒的现象，即为量子隧道效应 (Quantum tunnel effect)。



(2) 当 $k_2 a \gg 1$ 时, (对应于高且宽的势垒)

由:

$$T = \frac{4k_1^2 k_2^2}{[k_1^2 + k_2^2]^2 \operatorname{sh}^2 k_2 a + 4k_1^2 k_2^2}$$

有:

$$\operatorname{sh} k_2 a \approx \frac{1}{2} \exp(k_2 a) \gg 1$$

可得:

$$T \approx \frac{16k_1^2 k_2^2}{[k_1^2 + k_2^2]^2} \exp(-2k_2 a)$$

由:

$$k_1 = \sqrt{2mE} / \hbar$$

$$k_2 = \sqrt{2m(V_0 - E)} / \hbar$$

可知:

$$k_1^2 k_2^2 = (2m / \hbar^2)^2 E(V_0 - E)$$

$$k_1^2 + k_2^2 = 2mV_0 / \hbar^2$$

故:

$$T \approx \frac{16E(V_0 - E)}{V_0^2} \exp\left(-\frac{2a}{\hbar} \sqrt{2m(V_0 - E)}\right)$$

可见透射系数 (穿透系数) T 随势垒宽度的增加指数衰减。

例： 入射粒子为电子，求透射系数。假设：

$$(1) \quad E = 1eV, V_0 = 2eV, a = 0.2nm = 2 \times 10^{-10} m$$

$$(2) \quad E = 1eV, V_0 = 2eV, a = 0.5nm = 5 \times 10^{-10} m$$

$$T_1 \approx 4 \exp\left(-\frac{2 \times 2 \times 10^{-10}}{1.054 \times 10^{-34}} \sqrt{2 \times 9.11 \times 10^{-31} \times (2-1) \times 1.602 \times 10^{-19}}\right) \\ \approx 0.515$$

$$T_2 \approx T_1 \exp(-5/2) \approx 0.024$$

$$T \approx \frac{16E(V_0 - E)}{V_0^2} \exp\left(-\frac{2a}{\hbar} \sqrt{2m(V_0 - E)}\right)$$

例： 入射粒子为质子，求透射系数。假设：

$$E = 1eV, V_0 = 2eV, a = 0.2nm = 2 \times 10^{-10} m$$

$$T_3 \approx 4 \exp\left(-\frac{2 \times 2 \times 10^{-10}}{1.054 \times 10^{-34}} \sqrt{2 \times 1.673 \times 10^{-27} \times (2-1) \times 1.602 \times 10^{-19}}\right) \\ \approx 2.7 \times 10^{-38}$$

(3) 任意形状势垒:

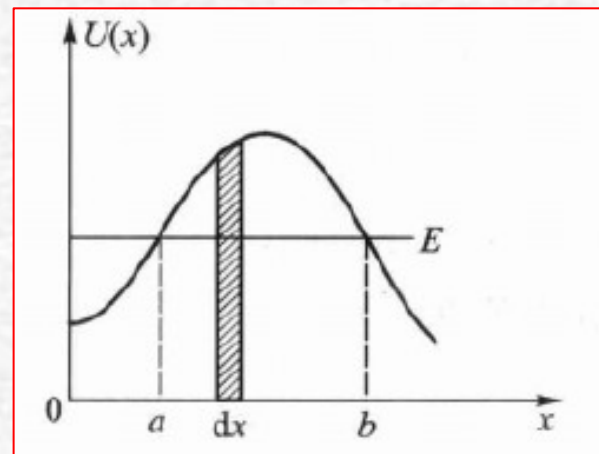
$$V = V(x)$$

由:

$$T \approx \frac{16E(V_0 - E)}{V_0^2} \exp\left(-\frac{2a}{\hbar} \sqrt{2m(V_0 - E)}\right)$$
$$= T_0 \exp\left(-\frac{2a}{\hbar} \sqrt{2m(V_0 - E)}\right)$$

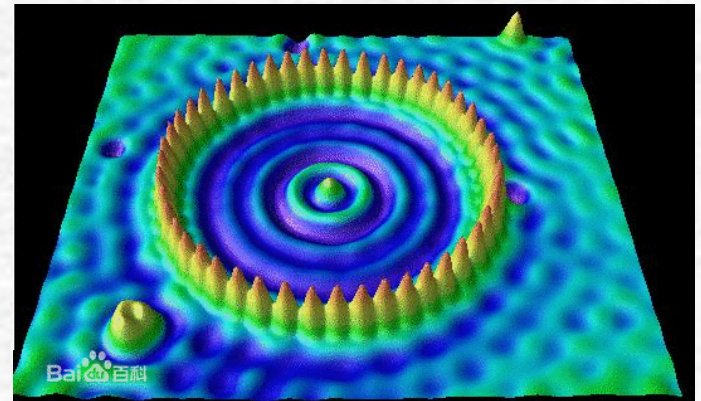
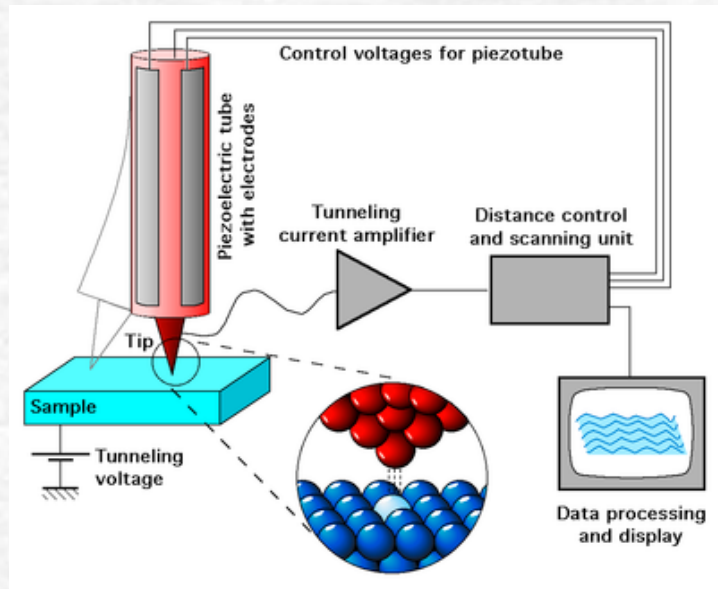
得:

$$T = T_1 T_2 \cdots T_N$$
$$= T_0 \exp\left(-\frac{2}{\hbar} \int_a^b \sqrt{2m(V(x) - E)} dx\right)$$



与隧道效应有关的物理现象和物理器件

α 衰变现象、质子转移反应、隧道二极管、超导Josephson结、
扫描隧道显微镜（STM）



三、E大于或等于V₀的情形

$$\psi_I(x) = A \exp(ik_1 x) + A' \exp(-ik_1 x), \quad x < 0$$

$$\psi_{III}(x) = C \exp(ik_1 x), \quad x > a$$

在II区

$$\psi'' + \frac{2m}{\hbar^2} (E - V_0) \psi = 0$$

其解为：

$$\psi_{II}(x) = B \exp(ik_2' x) + B' \exp(-ik_2' x)$$

$$k_2' = \sqrt{2m(E - V_0)} / \hbar$$

系数由边界条件确定：

$$\psi_I(0) = \psi_{II}(0)$$

$$\psi_I'(0) = \psi_{II}'(0)$$

$$\psi_{II}(a) = \psi_{III}(a)$$

$$\psi_{II}'(a) = \psi_{III}'(a)$$

联立四式，可解得透射系数和反射系数。

或利用前面的结果(E 小于 V_0 的情形):

$$ik_2' \rightarrow k_2 \longrightarrow \frac{C}{A} \exp(ik_1 a) = \frac{2ik_1 k_2}{[k_1^2 - k_2^2] \cdot \operatorname{sh} k_2 a + 2i(k_1 k_2) \operatorname{ch} k_2 a}$$

得:

$$\frac{C}{A} \exp(ik_1 a) = \frac{-2k_1 k_2'}{[k_1^2 + k_2'^2] \cdot \operatorname{sh}(ik_2' a) - 2(k_1 k_2') \operatorname{ch}(ik_2' a)}$$

又:

$$\operatorname{sh}(ix) = (e^{ix} - e^{-ix}) / 2 = i \sin x$$

$$\operatorname{ch}(ix) = (e^{ix} + e^{-ix}) / 2 = \cos x$$

得:

$$\frac{C}{A} \exp(ik_1 a) = \frac{-2k_1 k_2'}{i[k_1^2 + k_2'^2] \cdot \sin k_2' a - 2(k_1 k_2') \cos k_2' a}$$

$$\frac{C}{A} \exp(ik_1 a) = \frac{-2k_1 k_2'}{i[k_1^2 + k_2'^2] \cdot \sin k_2' a - 2(k_1 k_2') \cos k_2' a}$$

透射系数:

$$T = \left| \frac{C}{A} \right|^2 = \frac{4k_1^2 k_2'^2}{[k_1^2 - k_2'^2]^2 \sin^2 k_2' a + 4k_1^2 k_2'^2}$$

反射系数:

$$R = \left| \frac{A'}{A} \right|^2 = \frac{[k_1^2 - k_2'^2]^2 \sin^2 k_2' a}{[k_1^2 - k_2'^2]^2 \sin^2 k_2' a + 4k_1^2 k_2'^2}$$

讨论:

$$T = \left| \frac{C}{A} \right|^2 = \frac{4k_1^2 k_2'^2}{[k_1^2 - k_2'^2]^2 \sin^2 k_2' a + 4k_1^2 k_2'^2}$$

可见, 即使 E 大于 V_0 , 粒子一般也有一定的几率不能穿透势垒。

若

$$T = 1$$

须:

$$k_2' = k_1 \rightarrow V_0 = 0$$

或:

$$k_2' a = a \sqrt{2m(E - V_0)} / \hbar = n\pi$$

(共振穿透)

$$E_n = \frac{\pi^2 \hbar^2}{2ma^2} n^2 + V_0$$

四、一维方势阱散射

$$V(x) = \begin{cases} -V_0 & (0 < x < a) \\ 0 & (x \leq 0, x \geq a) \end{cases}$$

在II区

$$\psi'' + \frac{2m}{\hbar^2} (E + V_0) \psi = 0$$

E 始终大于 $-V_0$ ，可利用前面（三）结果。

$$\psi_{II}(x) = B \exp(ik_2''x) + B' \exp(-ik_2''x)$$

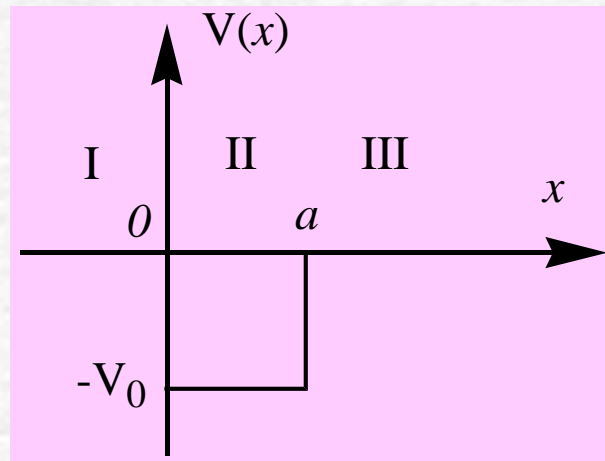
$$k_2'' = \sqrt{2m(E + V_0)} / \hbar$$

$$T = \left| \frac{C}{A} \right|^2 = \frac{4k_1^2 k_2''^2}{[k_1^2 - k_2''^2]^2 \sin^2 k_2'' a + 4k_1^2 k_2''^2}$$

共振穿透：

$$k_2'' a = a \sqrt{2m(E + V_0)} / \hbar = n\pi$$

$$E_n = \frac{\pi^2 \hbar^2}{2ma^2} n^2 - V_0$$



2-5 一维谐振子的定态解

1、一维谐振子的定态解

$$E = T + V = \frac{1}{2} \mu v^2 + V(x)$$

$$V(x) = \frac{1}{2} \mu \omega^2 x^2 = \frac{1}{2} kx^2$$

哈密顿算符:

$$\hat{H} = -\frac{\hbar^2}{2\mu} \frac{d^2}{dx^2} + \frac{1}{2} \mu \omega^2 x^2$$

薛定谔方程:

$$\hat{H} \psi(x) = E \psi(x)$$

$$\frac{d^2 \psi}{dx^2} + \frac{\mu}{\hbar^2} (2E - \mu \omega^2 x^2) \psi = 0$$

(接上页)

$$\frac{d^2\psi}{dx^2} + \frac{\mu}{\hbar^2} (2E - \mu\omega^2 x^2) \psi = 0$$

引入参数:

$$\xi = \alpha x, \quad \alpha = \sqrt{\frac{\mu \omega}{\hbar}}$$

于是:

$$\frac{d^2\psi}{d\xi^2} + (\lambda - \xi^2) \psi = 0$$

其中:

$$\lambda = \frac{2E}{\hbar\omega},$$

(接上页)

$$\frac{d^2\psi}{d\xi^2} + (\lambda - \xi^2)\psi = 0$$

(1) 渐进解:

$$\xi = \alpha x \rightarrow \pm\infty$$

$$\lambda \ll \xi^2$$

$$\frac{d^2\psi}{d\xi^2} - \xi^2\psi = 0$$

可以验证渐进解为:

$$\psi(\xi) \rightarrow e^{\frac{\xi^2}{2}}, e^{-\frac{\xi^2}{2}}$$

$$\begin{aligned} (e^{\pm\frac{\xi^2}{2}})'' &= (\pm\xi e^{\pm\frac{\xi^2}{2}})' \\ &= \pm e^{\pm\frac{\xi^2}{2}} + \xi^2 e^{\pm\frac{\xi^2}{2}} \\ &\xrightarrow{\xi \rightarrow \pm\infty} \xi^2 e^{\pm\frac{\xi^2}{2}} \end{aligned}$$

(2) 令:

$$\psi(\xi) = e^{-\frac{\xi^2}{2}} f(\xi)$$

代入前式, 得:

$$f'' - 2\xi f' + (\lambda - 1)f = 0$$

(接上页)

$$f'' - 2\xi f' + (\lambda - 1)f = 0$$

(3) 令:

$$f(\xi) = \sum_{\nu=0}^{\infty} a_{\nu} \xi^{\nu}$$

则:

$$f'(\xi) = \sum_{\nu=1}^{\infty} \nu a_{\nu} \xi^{\nu-1} = \sum_{\nu=0}^{\infty} \nu a_{\nu} \xi^{\nu-1}$$

$$f''(\xi) = \sum_{\nu=2}^{\infty} a_{\nu} \nu(\nu-1) \xi^{\nu-2} = \sum_{\nu=0}^{\infty} a_{\nu+2} (\nu+2)(\nu+1) \xi^{\nu}$$

代入前式, 得:

$$\sum_{\nu=0}^{\infty} \xi^{\nu} \{a_{\nu+2} (\nu+2)(\nu+1) - [2\nu - \lambda + 1]a_{\nu}\} = 0$$

(接上页)

$$\sum_{\nu=0}^{\infty} \xi^{\nu} \{a_{\nu+2}(\nu+2)(\nu+1) - [2\nu - \lambda + 1]a_{\nu}\} = 0$$

得:

$$a_{\nu+2} = \frac{(2\nu+1-\lambda)}{(\nu+2)(\nu+1)} a_{\nu}$$

(4) 但:

$$\sum_{\nu=0}^{\infty} a_{\nu} \xi^{\nu} \xrightarrow{\xi \rightarrow \infty} \infty \quad (\sim e^{\xi^2} \xrightarrow{\xi \rightarrow \infty} \infty)$$

(无穷级数趋于无穷大的速度与 e^{ξ^2} 一样快)

而

$$\psi(\xi) \sim e^{-\frac{\xi^2}{2}} \sum_{\nu=0}^{\infty} a_{\nu} \xi^{\nu} \xrightarrow{\xi \rightarrow \infty} e^{\frac{\xi^2}{2}}$$

(无界)

\therefore 级数展开须截止到有限项 (成为多项式)。

(接上页)

$$a_{\nu+2} = \frac{(2\nu+1-\lambda)}{(\nu+2)(\nu+1)} a_{\nu}$$

即, 令:

$$a_n \neq 0, \quad a_{n+2} = 0$$

则:

$$2n+1 = \lambda = \frac{2E}{\hbar\omega}$$

故:

$$E_n = \left(n + \frac{1}{2}\right)\hbar\omega \quad n = 0, 1, 2, \dots$$

同时要求: $a_0 \neq 0, \quad a_1 = 0$ 或 $a_1 \neq 0, \quad a_0 = 0$,

两者分别给出偶数幂次的多项式和奇数幂次的多项式, 称厄米多项式。

结果总结:

$$E_n = (n + \frac{1}{2})\hbar\omega$$

$$\psi_n(x) = N_n e^{-\frac{1}{2}\alpha^2 x^2} H_n(\alpha x)$$

$$n = 0, 1, 2, \dots$$

$$N_n = \left(\frac{\alpha}{\sqrt{\pi} 2^n n!} \right)^{\frac{1}{2}}$$

$$\alpha = \sqrt{\frac{\mu \omega}{\hbar}}$$

$H_n(\xi)$ 为 n 阶厄米多项式。

$$H_0(\xi) = 1,$$

$$H_1(\xi) = 2\xi,$$

$$H_2(\xi) = 4\xi^2 - 2,$$

$$H_3(\xi) = 8\xi^3 - 12\xi,$$

$$H_4(\xi) = 16\xi^4 - 48\xi^2 + 12, \quad \dots\dots$$

讨论:

$$E_n = \left(n + \frac{1}{2} \right) \hbar \omega, \quad n = 0, 1, 2, \dots$$

(i) 零点振动能

$$n = 0, \quad E_0 = \frac{1}{2} \hbar \omega$$

零点能在分子光谱, 以及化学热力学和化学反应动力学的理论计算中有重要意义。

(ii) 能级间隔

$$\Delta E = E_n - E_{n-1} = \hbar \omega$$

\therefore 谐振子能级是等间距的

(iii) 波函数的图形

$$\psi_n(x) = N_n e^{-\frac{1}{2}\alpha^2 x^2} H_n(\alpha x), \quad n = 0, 1, 2, \dots$$

A、节点数 = n 。

B、基态($n=0$)，波函数的最大值为平衡间距处。

C、激发态($n=1,2,\dots$)，波函数的最大值为势能曲线边上。

D、与经典振子的对比。

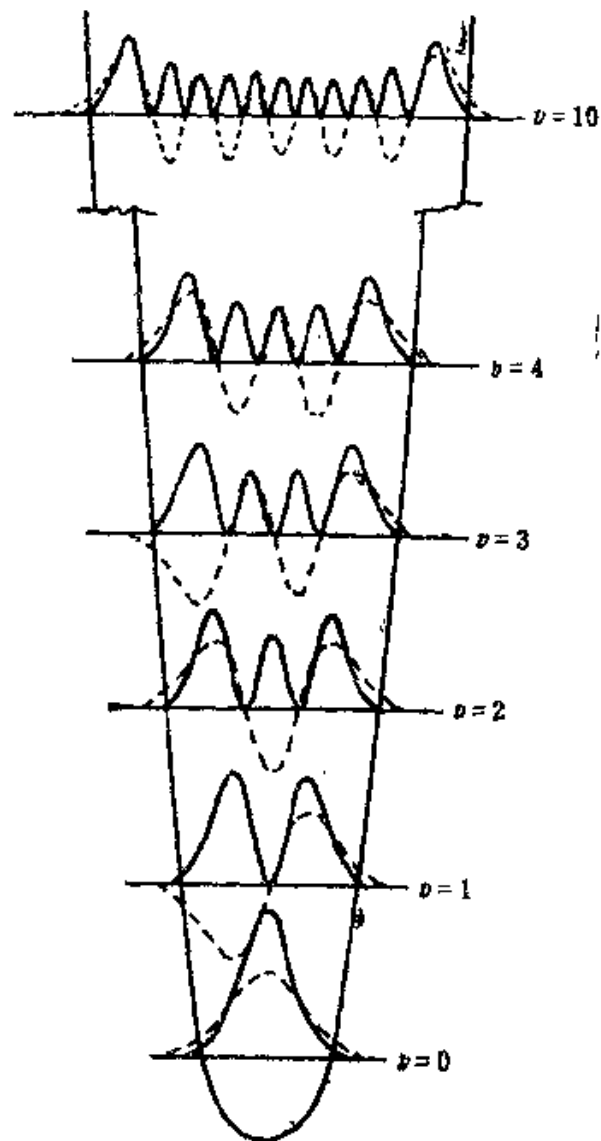


图 7.21 双原子分子谐振子的波函数和几率密度

2、厄米多项式的性质

(1) 奇偶性:

$$H_n(\xi) = (-1)^n e^{\xi^2} \frac{d^n}{d\xi^n} (e^{-\xi^2}) \quad \begin{cases} \text{偶} & n = 2k \\ \text{奇} & n = 2k + 1 \end{cases}$$

(2) 正交性:

$$\int_{-\infty}^{\infty} H_m(\xi) H_n(\xi) e^{-\xi^2} d\xi = \sqrt{\pi} 2^n n! \delta_{m,n}$$

$$\longrightarrow \int \psi_m^*(x) \psi_n(x) dx = \delta_{m,n}$$

(3) 递推关系:

$$\xi H_n(\xi) = \frac{1}{2} [H_{n+1}(\xi) + 2nH_{n-1}(\xi)]$$

$$H'_n(\xi) = 2nH_{n-1}(\xi)$$

3、谐振子波函数的递推

利用

$$\xi H_n(\xi) = \frac{1}{2}[H_{n+1}(\xi) + 2nH_{n-1}(\xi)]$$

$$\frac{d}{d\xi} H_n(\xi) = 2nH_{n-1}(\xi)$$

及

$$\psi_n(x) = N_n e^{-\frac{1}{2}\alpha^2 x^2} H_n(\alpha x)$$

$$N_n = \left(\alpha / \sqrt{\pi} 2^n n!\right)^{\frac{1}{2}}$$

有

$$x\psi_n(x) = \frac{1}{\alpha} \left[\sqrt{\frac{n}{2}} \psi_{n-1} + \sqrt{\frac{n+1}{2}} \psi_{n+1} \right]$$

$$\frac{d\psi_n}{dx} = \alpha \left[\sqrt{\frac{n}{2}} \psi_{n-1} - \sqrt{\frac{n+1}{2}} \psi_{n+1} \right]$$

作业

由:

$$x\psi_n(x) = \frac{1}{\alpha} \left[\sqrt{\frac{n}{2}} \psi_{n-1} + \sqrt{\frac{n+1}{2}} \psi_{n+1} \right]$$

$$\frac{d\psi_n}{dx} = \alpha \left[\sqrt{\frac{n}{2}} \psi_{n-1} - \sqrt{\frac{n+1}{2}} \psi_{n+1} \right]$$

可进一步递推:

$$x^2\psi_n = \frac{1}{2\alpha^2} \left[\sqrt{n(n-1)} \psi_{n-2} + (2n+1) \psi_n + \sqrt{(n+1)(n+2)} \psi_{n+2} \right]$$

$$\frac{d^2\psi_n}{dx^2} = \frac{\alpha^2}{2} \left[\sqrt{n(n-1)} \psi_{n-2} - (2n+1) \psi_n + \sqrt{(n+1)(n+2)} \psi_{n+2} \right]$$